

## К теории фотогальванических эффектов в кристаллах без центра инверсии

© Р.Я. Расулов, Ю.Е. Саленко, А. Тухтаматов, Т. Эски, А.Э. Авлияев

Ферганский государственный университет,  
712000 Фергана, Узбекистан

(Получена 23 марта 1998 г. Принята к печати 27 мая 1998 г.)

Теоретически рассматриваются фотонные механизмы сдвигового и баллистического линейного фотогальванического эффекта в полупроводниках с вырожденной валентной зоной, обусловленные как сдвигом дырок в реальном пространстве при прямых оптических переходах между ветвями валентной зоны, так и асимметрией электрон-фононного взаимодействия с учетом фрелиховского электрон-фононного взаимодействия. Получены температурная и частотная зависимости фототока, результаты сравниваются с экспериментальными данными для  $p$ -GaAs. Рассчитаны коэффициент поглощения света, токи увлечения электронов фотонами и сдвиговой линейный фотогальванический эффект (СЛФГЭ) в кристаллах без центра инверсии, обусловленные прямыми оптическими переходами, сопровождаемые переворотом спина электронов. Учтены вклады в ток увлечения, возникающие при учете волнового вектора фотона не только в законе сохранения энергии, но и в законе сохранения импульса, а также при учете взаимодействия магнитного поля световой волны с магнитным моментом электронов. Рассчитан вклад изотропизации функции распределения фотоносителей в ток СЛФГЭ в полупроводниках со сложной валентной зоной и показано, что рассеяние фотоносителей на  $LO$ -фононах на каждой ступени каскадного процесса вносит вклад в ток.

### Введение

В настоящее время установлено, что в кристаллах без центра инверсии явление выстраивания фотовозбужденных носителей тока по импульсу под действием линейно поляризованного излучения приводит к упорядоченному движению, т.е. фототоку из-за асимметрии рассеяния носителей тока на фононах, фотонах и других несовершенствах кристаллической структуры [1].

В работах [2,3] теоретически исследованы ток сдвигового и баллистического линейных фотогальванических эффектов (СЛФГЭ и БЛФГЭ) в полупроводниках с вырожденной валентной зоной, обусловленные асимметричным рассеянием носителей тока на  $LO$ -фононах (фононный механизм). Было показано, что преобладающим механизмом эффекта в  $p$ -GaAs при температуре  $T > 250$  К, концентрации дырок  $p = 10^{15} - 10^{19}$  см<sup>-3</sup> при возбуждении  $CO_2$ -лазером являются переходы между ветвями тяжелых и легких дырок, и для указанного механизма температурная зависимость фототока приближенно описывается формулой

$$j_\alpha = I\chi|\delta_{\alpha\beta\gamma}|e_\beta e_\gamma, \quad (1)$$

$$\chi(T) = p \left( \frac{E^*}{k_B T} \right)^{3/2} \exp \left( -\frac{E^*}{k_B T} \right) \times \frac{a_{\text{phon}} N_\Omega + b_{\text{phon}} (N_\Omega + 1)}{2N_\Omega + 1}. \quad (2)$$

Здесь  $E^* = \hbar\omega m_2 / (m_1 - m_2)$ ,  $m_1$  и  $m_2$  — эффективные массы тяжелых и легких дырок,  $\omega$  — частота,  $I$  — интенсивность,  $\mathbf{e}$  — вектор поляризации возбуждающего света,  $N_\Omega$  — числа заполнения  $LO$ -фононов. Коэффициенты  $a_{\text{phon}}$  и  $b_{\text{phon}}$  в выражении (1) определяются параметрами зонной структуры, константами электрон-фононного взаимодействия и частотой света.

В работе [3] проведен численный расчет тока фононного механизма СЛФГЭ и БЛФГЭ для  $p$ -GaAs и теоретические значения коэффициентов  $a_{\text{phon}}$  и  $b_{\text{phon}}$  в (2) сопоставлены с экспериментальными, где отмечено заметное количественное расхождение теоретических и экспериментальных температурных зависимостей фототока. Это расхождение может быть связано с пренебрежением в количественных расчетах вкладами фотонного механизма СЛФГЭ и БЛФГЭ, обусловленного наличием слагаемых разной четности по волновому вектору  $\mathbf{k}$  в эффективном гамильтониане дырок  $H(\mathbf{k})$  для зоны  $\Gamma_8$ . Оценки этого вклада, проведенные в [4] и основанные на имеющихся в то время данных о величине коэффициента  $D'$ , определяющего величину кубического по  $\mathbf{k}$  члена в  $H(\mathbf{k})$ , указывали на меньшую роль фотонного механизма по сравнению с фононным. Однако данные [5] показывают, что значение  $D'$  в 2.7 раза больше принятого в работах [3,4]. Поэтому представляет интерес расчет фотонного механизма СЛФГЭ и БЛФГЭ, чему и посвящена настоящая работа. Для полноты задачи также исследован прецессионный механизм фотогальванических эффектов (эффектов увлечения фотона, обусловленного передачей импульса фотона на систему носителей тока и СЛФГЭ) в пьезоэлектрических кристаллах.

### Фотонный механизм СЛФГЭ и БЛФГЭ

Наряду с фононным механизмом СЛФГЭ существует и фотонный механизм, связанный со смещением дырок в реальном пространстве при прямых оптических переходах между ветвями валентной зоны GaAs. Для расчета

тока указанного механизма используем формулу [2,6]

$$j_{\alpha} = -\frac{e^3 I e_{\beta} e_{\gamma} |\delta_{\alpha\beta\gamma}|}{2\pi m_0^2 \omega^2 \hbar c n_{\omega}} \int d\mathbf{k} \operatorname{Im} \left[ P_{21}^{(\beta)*} \frac{\partial}{\partial k_{\alpha}} P_{21}^{(\alpha)} \right] \times f_{1k} \delta(E_2 - E_1 - \hbar\omega). \quad (3)$$

Здесь  $n_{\omega}$  — коэффициент преломления света,  $P_{21}$  — матричный элемент оператора импульса

$$\mathbf{P} = \frac{m_0}{\hbar} \nabla_{\mathbf{k}} \hat{H}, \quad (4)$$

$\hat{H}$  — гамильтониан дырок,  $E_l = \hbar^2 k^2 / (2m_l)$  — энергетический спектр,  $m_l$  — эффективная масса дырок ветви  $l$  ( $l = 2$  соответствует подзоне легких дырок, а  $l = 1$  — подзоне тяжелых дырок),  $\delta_{\alpha\beta\gamma}$  — антисимметричный тензор третьего ранга;  $\alpha, \beta, \gamma = x, y, z$ .

В дальнейшем в гамильтониане дырок наряду с квадратичным по  $\mathbf{k}$  слагаемым

$$\hat{H} = \left( A + \frac{5}{4} B \right) k^2 - B(\mathbf{Jk})^2 \quad (5)$$

будем учитывать наибольшее кубическое по  $k$  слагаемое

$$\hat{H}_3 = D' \mathbf{Jk} \quad (6)$$

и линейный по  $\mathbf{k}$  член

$$\hat{H}_1 = \frac{4}{\sqrt{3}} k_0 \mathbf{Vk}, \quad (7)$$

где

$$K_{\alpha} = k_{\alpha} (k_{\alpha+1}^2 - k_{\alpha+2}^2), \quad V_{\alpha} = [J_{\alpha} (J_{\alpha+1}^2 - J_{\alpha+2}^2)],$$

$J_{\alpha}$  — матрицы оператора проекции углового момента в представлении  $\Gamma_8$  [7]

$$A \pm B = \hbar^2 / (2m_{1,2}).$$

Тогда, используя (4) с учетом (5)–(7) и суммируя по всем вырожденным состояниям, после ряда преобразований получим

$$j_{\alpha,\nu}^{\text{phot}} = e \frac{I}{\hbar\omega} K(\omega, T) L^{(\nu)} e_{\beta} e_{\gamma} |\delta_{\alpha\beta\gamma}|, \quad (8)$$

где

$$K(\omega, T) = \frac{e^2}{c \hbar n_{\omega}} f_0(E^*) \sqrt{\frac{\hbar\omega}{2B}} \quad (9)$$

— коэффициент поглощения света, связанный с прямыми оптическими переходами дырок между ветвями легких и тяжелых дырок валентной зоны полупроводника,  $f_0(E^*)$  — равновесная функция распределения дырок,  $L^{(\nu)}$  — величина размерности длины:

$$L^{(3)} = -\frac{D'}{2B} \left( 1 + \frac{21}{16\pi} I_0 \right), \quad (10)$$

$$L^{(1)} = -\frac{k_0}{\hbar\omega} \left( 1 + \frac{4}{\sqrt{3}} \frac{m_1 - m_2}{m_1 + m_2} \right), \quad (11)$$

$$I_0 = \int_{-1}^{+1} d\mu \int_0^{2\pi} \left[ O_y^2 O_z^2 \sum_{\alpha} O_{\alpha}^2 (O_{\alpha+1}^2 - O_{\alpha+2}^2)^2 \right]^{1/2},$$

$$\mathbf{O} = \mathbf{k}/k \quad (12)$$

и отношение  $j_{\alpha,\nu}^{\text{phot}}/K$  не зависит от температуры.

Заметим, что при расчетах учитываются не только вклады в ток СЛФГЭ, возникающие в результате произведения линейного по  $\mathbf{k}$  и не зависящего от  $\mathbf{k}$  или квадратичного по  $\mathbf{k}$  слагаемых в матричном элементе оператора импульса, но и вклады, обусловленные возмущенной частью волновых функций и расщеплением подзоны легких и тяжелых дырок. Учет слагаемых (5)–(6) в гамильтониане  $\hat{H}$  приводит к расщеплению подзоны легких дырок

$$E_l^{\pm} = \frac{\hbar^2 k^2}{2m_l} \pm D' k^3 \left[ \sum_{\alpha} O_{\alpha}^2 (O_{\alpha+1}^2 - O_{\alpha+2}^2) \right]^{1/2} \quad (13)$$

(при этом подзона тяжелых дырок не расщепляется), а учет (7) в  $\hat{H}$  приводит к одинаковому расщеплению обеих подзон:

$$E_l^{\pm} = \frac{\hbar^2 k^2}{2m_l} \pm \sqrt{3} k_0 k \sqrt{O_x^2 + O_y^2}. \quad (14)$$

В первом случае учет расщепления в законе сохранения энергии (в аргументе  $\delta$ -функции) приводит к дополнительному вкладу (возникновению  $J_0$  в (4)) в ток СЛФГЭ, а во втором случае — не приводит. Последнее связано с тем, что линейное по  $\mathbf{k}$  расщепление  $E_l(\mathbf{k})$  не сказывается на разности  $E_2^+ - E_1^{\pm}$  и она остается фиксированной.

Из соотношения (8) видно, что температурный ход тока фотонного механизма СЛФГЭ определяется температурной зависимостью коэффициента поглощения света  $K(T)$ . Фотонный механизм БЛФГЭ обусловлен асимметричной частью вероятности оптического перехода дырок между ветвями валентной зоны  $W^{(as)}$ . При этом величина  $W^{(as)}$  содержит нечетные по  $\mathbf{k}$  члены, возникшие как результат произведения слагаемых разной четности по  $\mathbf{k}$  в матричном элементе оператора электрон-фотонного взаимодействия.

В случае Больцмановской статистики ток БЛФГЭ в основном определяется восемью функциями  $\Phi_m$ , которые пропорциональны мнимой части произведения матричных элементов оператора импульса и электрон-фононного взаимодействия [3]. При вычислении тока фотонного механизма БЛФГЭ учитываем наряду с квадратичными и кубическими по  $\mathbf{k}$  слагаемыми в  $H(\mathbf{k})$  и ограничиваемся фрелиховским электрон-фононным взаимодействием [2]. Выполняя преобразования, подобные изложенным в [8], и используя приведенные в Приложении (см. п. 2) [8] выражения для антикоммулятора и интегрируя по телесным углам волновых векторов начального и конечного состояний  $\Omega$  и  $\omega'$ , получим

следующие выражения для величин:

$$\bar{\Phi}_n = \langle k_\alpha \Phi_n \rangle \quad \text{и} \quad \bar{\Phi}'_n = \langle k'_\alpha \Phi_n \rangle_{\Omega\Omega'}, \quad (15)$$

$$\bar{\Phi}_1 = \Phi_0 [kk'^{-1}Q_1 - (Q_0 + 2Q_2)/2], \quad \bar{\Phi}_2 = \Phi_0(Q_0 - Q_2),$$

$$\bar{\Phi}'_n = (-1)^n \bar{\Phi}_n (k \leftrightarrow k'), \quad n = 1, 2,$$

где

$$\Phi_0 = \frac{32\pi^2}{5\hbar^2} BD'C^2 U_L^2 m_0^2 (kk')^2,$$

$$Q_m = \frac{1}{2} \int_{-1}^{+1} P_m(x) (a-x)^{-1} dx, \quad (16)$$

$P_m$  — полином Лежандра  $m$ -го порядка,  $a = (k^2 + k'^2)/2kk'$ ,  $U_L$  — амплитуда относительного смещения двух подрешеток при их оптическом колебании.

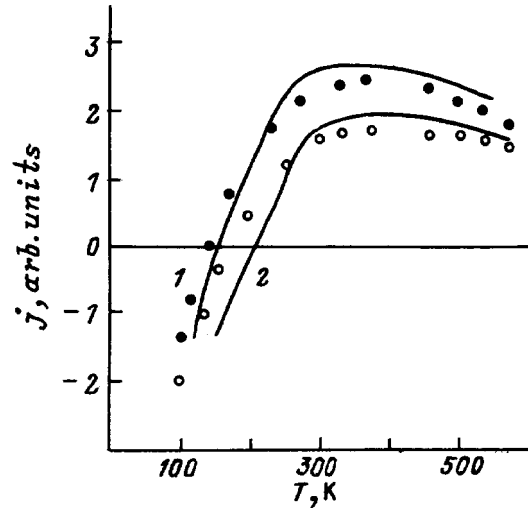
Расчитанные на основе функций  $\bar{\Phi}_n$  и  $\bar{\Phi}'_n$  по формуле (8) выражения для тока фотонного механизма БЛФГЭ получаем из (1) заменой  $Bd_0/\sqrt{3}$  на  $CD'$  и величин  $a_{\text{phon}}$  и  $b_{\text{phon}}$  на  $a_{\text{phot}}$  и  $b_{\text{phot}}$ . Выражения для  $a_{\text{phot}}$  и  $b_{\text{phot}}$  не приведены из-за их чрезвычайной громоздкости.

## Сравнение с экспериментом

При дальнейших количественных расчетах принимаем следующие значения для параметров GaAs:  $\hbar\Omega = 36$  мэВ — энергия LO-фонона,  $m_1 = 0.51 m_0$ ,  $m_2 = 0.09 m_0$ , низко- и высокочастотная диэлектрические проницаемости:  $\varepsilon_0 = 12.5$  и  $\varepsilon_\infty = 10.9$ ,  $|D'| = 3.9 \cdot 10^{-23}$  эВ · см<sup>3</sup>,  $\rho = 5.31$  г/см<sup>3</sup>.

В начале оценим величину  $L^{(\nu)}$ . Константа  $k_0$  для разных кристаллов лежит в пределах  $(1 \div 6) \cdot 10^{-10}$  эВ · см (см., например, [5]). Этим значениям  $k_0$  для GaAs при освещении его CO<sub>2</sub>-лазером ( $\hbar\omega = 0.12$  эВ) соответствует значению  $L_1^{(1)} = (0.2 \div 1.4) \cdot 10^{-8}$  см =  $(0.15 \div 1) X_{\text{exp}}$ , где  $X_{\text{exp}} = 0.17 \cdot 10^{-7}$  см при комнатной температуре. Эти оценки показывают, что вклад в ток СЛФГЭ, связанный с асимметрией фотонных процессов за счет релятивистских, линейных по  $\mathbf{k}$  слагаемых в  $\hat{H}$ , также сравним с экспериментальным.

При расчетах  $a_{\text{phot}}$  и  $b_{\text{phot}}$  мы учли, что при поглощении света фотоны рождают анизотропно распределенные по скоростям носители тока, которые далее начинают испытывать рассеяние на фононах, примесях и между собой в зависимости от энергии, сдвигаясь в реальном пространстве в каждом шаге процесса каскадного рассеяния, и дают соответствующий вклад в общий фототок (см. *Приложение*). Этот ток отличен от тока, возникающего при рассеянии дырок из начального состояния, не только ввиду уменьшения степени анизотропии распределения в результате столкновений, но и вследствие зависимости среднего сдвига от энергии. При этом "парциальные" фототоки могут иметь противоположные знаки. Коэффициенты  $a_{\text{phot}}$  и  $b_{\text{phot}}$  для токов СЛФГЭ и БЛФГЭ,



Температурные зависимости тока линейного фотогальванического эффекта для  $p$ -GaAs при концентрации дырок  $p = 7.4 \cdot 10^{16}$  см<sup>-3</sup>. Длина волны  $\lambda$ , мкм: 1 — 10.6, 2 — 9.5. Точки — экспериментальные данные из работы [4], сплошные линии — расчет по фотонному механизму в СЛФГЭ и БЛФГЭ.

обусловленных асимметрией дырочно-фотонного взаимодействия с учетом квадратичных и кубических по  $\mathbf{k}$  членов в  $H(\mathbf{k})$ , и для полного тока приведены в таблице, где процессы  $A, B, C$  соответствуют процессам  $A, B, C$ , рассмотренным в работе [4] (значения коэффициентов  $a_{\text{phon}}$  и  $b_{\text{phon}}$  были взяты из работы [3]). Видно, что баллистический и сдвиговый вклады фотонного механизма в ток сравнимы по порядку величины, и эти вклады частично компенсируют друг друга.<sup>1</sup>

На рисунке сопоставлены расчетные и экспериментальные температурные зависимости фототока для образца  $p$ -GaAs с концентрацией дырок  $p = 7.4 \cdot 10^{16}$  см<sup>-3</sup>. Как видно из рисунка, наилучшее согласие теории и эксперимента лежит в области комнатной температуры, и учет фотонного вклада в фототок в области температур  $T > 200$  К уменьшает расхождение теоретических и экспериментальных результатов на 30%. Следует отметить, что представленная теория фотонных механизмов в СЛФГЭ и БЛФГЭ для  $p$ -GaAs не содержит подгоночных параметров.

## Прецессионный механизм фотогальванических эффектов в случае простой зоны

Известно [6], что в кристаллах без центра инверсии имеется спиновое расщепление зоны проводимости и оно в кристаллах кубической симметрии ( $O_h$ ) пропор-

<sup>1</sup> Полученное для полного тока отношение  $|a_{\text{tot}}|/|b_{\text{tot}}| \simeq 5$ , что согласуется с экспериментальными данными, согласно которым  $|a_{\text{tot}}| \gg |b_{\text{tot}}|$ , тогда как для фотонного механизма  $|a_{\text{tot}}|/|b_{\text{tot}}| \simeq 10$ .

Численные значения коэффициентов  $a_i$  и  $b_i$  (в нм) в  $p$ -GaAs для частот возбуждающего света  $\hbar\omega = 117$  мэВ и  $\hbar\omega = 130$  мэВ при комнатной температуре

Энергия фотона, мэВ	Типы оптических переходов						Баллистический		Сдвиговый		Суммарный	
	A		B		C		a	b	a	b	a	b
	a	b	a	b	a	b						
Фононный механизм												
117	-14.1	-2.7	15.3	4.0	-4.5	2.8	-2.3	4.1	-3.0	-3.0	-6.3	1.1
130	-15.3	-1.6	16.0	3.3	-4.7	2.8	-4.0	4.5	-2.0	-2.9	-6.3	1.6
Фотонный механизм												
117	0.326	-0.119	0.5	-0.06	-0.551	0.0	0.278	-0.2	0.2	0.2	0.467	0.04
130	0.318	-0.161	0.54	-0.05	-0.562	0.0	0.3	-0.17	0.3	0.3	0.482	0.09
Результирующий механизм												
117	-13.77	-2.88	15.8	3.64	-5.05	2.8	-3.03	3.915	-2.81	-2.84	-5.83	1.1
130	-14.98	-1.77	16.59	3.35	-5.53	2.8	-3.7	4.33	-2.72	-2.72	-6.42	1.69

ционально  $k^3$ , а в гиротропных кристаллах (симметрия  $D_3$ ) пропорционально  $k$ , где  $\mathbf{k}$  — волновой вектор электрона. При этом спин-орбитальное взаимодействие обуславливает не только гофрировку зоны проводимости, но и прямые оптические переходы электронов между спиновыми ветвями при низких температурах и больших концентрациях дырок, наряду с непрямыми оптическими переходами. Возможность таких переходов, как показано далее, приводит к различным оптическим и фотогальваническим явлениям.

Состояние электронов проводимости в кристаллах симметрии  $T_d$  описывается гамильтонианом (см., например, [9] и библиографию)

$$\hat{H} = \frac{\hbar^2 k^2}{2m_c} - \delta(\boldsymbol{\sigma}\mathbf{Q}), \quad (17)$$

а для теллура [10]

$$\hat{H} = \frac{\hbar^2 k^2}{2m_c} - \beta_c \sigma_z k_z + \alpha_c (\sigma_+ k_- + \sigma_- k_+) + \delta_1 (\sigma_+ k_+^2 + \sigma_- k_-^2) + i\delta_2 k_+ (k_- \sigma_+ - k_+ \sigma_-), \quad (18)$$

где

$$\sigma_{\pm} = (\sigma_x \pm i\sigma_y)/2, \quad k_{\pm} = k_x \pm ik_y, \quad k_{\perp}^2 = k_+ k_- = k_x^2 + k_y^2,$$

$$k_2 = k_z^2 + k_{\perp}^2, \quad \mathbf{Q} = \mathbf{k} \times \boldsymbol{\pi}, \quad \pi_i = k_{i+1} k_{i+2},$$

$\sigma_{\alpha}$  ( $\alpha = x, y, z$ ) — матрицы Паули,  $m_c$  — эффективная масса электронов на дне зоны проводимости,

$$\delta_0 = \hbar^3 \gamma_c / 2 \sqrt{2m_c^3 E_g},$$

$E_g$  — ширина запрещенной зоны,<sup>2</sup>  $\beta_c, \alpha_c, \delta_1, \delta_2$  — зонные параметры полупроводника, характеризующие

<sup>2</sup> Значение  $|\gamma_c|$ , определенное из времени спиновой релаксации электронов для арсенида галлия, согласно [5], равно 0.022.

гофрировку энергетического спектра, определенного соотношением

$$E_{\mathbf{k}}^{\pm} = \frac{\hbar^2 k^2}{2m_c} \pm \Delta E. \quad (19)$$

Здесь  $2\Delta E$  — спиновое расщепление:

$$\Delta E = \delta_0 k^3 \sqrt{f}$$

— для полупроводников типа  $A^{\text{III}}B^{\text{V}}$ ;

$$\Delta E = \sqrt{\beta_c^2 k_z^2 + \alpha_c k_{\perp}^2}$$

— для Те;  $0 \leq f \leq 1/4$ ,

$$f = O_z^2 - O_z^4 + O_x^2 O_y^2 (1 - 9O_z^2), \quad \mathbf{O} = \mathbf{k}/k.$$

Отметим, что в теллуре искажение энергетического спектра электронов, связанное с последними двумя слагаемыми в (2), невелико (см., например, [10]).

Коэффициент поглощения света, связанный с прямыми оптическими переходами с переворотом спина,<sup>3</sup> определим по формуле

$$K_{str} = \frac{e^2}{2\pi c n_{\omega} \hbar^2 \omega} (1 - e^{-\beta \hbar \omega}) \times \int d^3 \mathbf{k} |\mathbf{e}_{\mathbf{k}, \mathbf{k}}|^2 f_0(E_{\mathbf{k}}^-) \delta(2\Delta E - \hbar \omega), \quad (20)$$

<sup>3</sup> Эффект увлечения фотонами и линейный фотогальванический эффект ранее в основном рассматривались без учета переворота спина [8].

где  $\beta^{-1} = k_B T$ . Тогда для теллура<sup>4</sup> в случае  $\sigma$ -поляризации ( $\mathbf{e} \perp z$ ) имеем

$$K_{str} = \frac{e^2 m_c \alpha_c^2}{4\pi c n_\omega \hbar^4 \beta \beta_c \omega} e^{\beta E_F} (1 - e^{-\beta \hbar \omega}) \times \exp \beta \left( \frac{\hbar \omega}{2} - \frac{\hbar^2 k_0^2}{2m_c} \right), \quad (21)$$

а для полупроводников  $A^{III}B^V$   $n$ -типа коэффициент поглощения равен<sup>5</sup>

$$K_{str} = \frac{e^2 I'}{c n_\omega \omega \delta_0} (1 - e^{-\beta \hbar \omega}), \quad (22)$$

где  $E_F$  — химический потенциал,  $k_0 = \hbar \omega / 2\beta_c$ ,

$$I'(\omega, T) = \frac{1}{4\pi} \int k dk \int d\Omega f_0(E_{\mathbf{k}}^-) \delta(W_k - \sqrt{f}), \quad (23)$$

$$W_k = \hbar \omega / (2\delta_0 k^3).$$

При низких температурах и сильном вырождении в оптических переходах могут участвовать электроны с импульсами, отличающимися от импульса Ферми  $k_F \hbar$  на величину порядка  $\delta_0 m_c k_F^2 \hbar$ , как в прямых оптических переходах, так и в эффектах увлечения (ЭУФ), и в СЛФГЭ, связанных с переворотом спина, где величина

$$\delta = \delta_0 \sqrt{2} / \sqrt{m E_g}$$

определяет интенсивность спин-орбитального взаимодействия,  $m = 2m_c m_v / (m_c + m_v)$ , где  $m_v$  — эффективная масса дырок на вершине валентной зоны полупроводника.

Расчет показывает, что при сильном вырождении и низких температурах, т. е. в тех приближениях, когда концентрация электронов определяется как  $n = k_F^3 / 3\pi^2$  [9], имеем для  $z$ -компоненты тока СЛФГЭ и  $n$ -GaAs:

$$J_z = e \frac{4e^2}{3c n_\omega \hbar} \frac{\delta_0 (3\pi^2 n)}{\hbar \omega} \frac{I}{\hbar \omega} (1 - e^{-\beta \hbar \omega}) e_x e_y, \quad (24)$$

а для теллура

$$j_\alpha = -e \frac{e^2 J_\alpha}{2\pi c n_\omega \hbar} \frac{I}{\hbar \omega} \frac{m_c \delta_1 \delta_2}{\beta \hbar^3 \omega \beta_v} f(\omega), \quad (25)$$

где

$$f(\omega) = e^{E_F \beta} \exp \beta \left( \frac{\hbar \omega}{2} - \frac{\hbar k_0^2}{2m_c} \right),$$

$$J_\alpha = [(|e_x|^2 - |e_y|^2) \delta_{\alpha x} - (e_x e_y^* + e_y e_x^*) \delta_{\alpha y}].$$

ЭУФ в полупроводниках  $A^{III}B^V$  электронной проводимости при прямых переходах между спиновыми ветвями

<sup>4</sup> Спин-орбитальное расщепление зоны проводимости в Те значительно больше, чем в полупроводниках  $A^{III}B^V$ . Поэтому обнаружение ряда поляризационных оптических и фотогальванических явлений [9] возможно более простыми методами.

<sup>5</sup> Для случая сильного вырождения в работе [3] получено выражение для  $I'(\omega, T)$ .

впервые теоретически был рассмотрен в работе [9], где не учтены вклады в ток ЭУФ за счет влияния магнитного поля электромагнитной волны на магнитный момент электронов [11] и за счет учета волнового вектора фотона ( $\mathbf{q}$ ) в законе сохранения импульса [12]. Для этих вкладов имеем следующее выражение

$$\mathbf{J}_1 = -\frac{7\pi}{3} \delta_0 \frac{e^3 (3\pi^2 n)^{2/3}}{c n_\omega \hbar^2} \frac{I}{\hbar \omega} \mathbf{q} \tau_F g, \quad (26)$$

которое возникает за счет взаимодействия, описываемого оператором [11]

$$V_H = \frac{e A_0}{c \hbar} g \frac{\hbar^2}{2m_0} i \boldsymbol{\sigma} (\mathbf{q} \times \mathbf{e}), \quad (27)$$

где  $g$  — фактор Ланде электронов,  $A_0$  — амплитуда вектор-потенциала световой волны и

$$\mathbf{J}_2 = -\frac{2\pi e}{m_c} K_{str} \tau_F \frac{\langle \mathbf{q} (\mathbf{k} \nabla_{\mathbf{k}} F) \delta(W_F - \sqrt{f}) \rangle}{\langle F \delta(W_F - \sqrt{f}) \rangle}. \quad (28)$$

Последний вклад возникает при учете импульса фотона в законах сохранения импульса, где скобки  $\langle \rangle$  означают угловое усреднение. Здесь  $W_F = \hbar \omega / (2\delta_0 k_F^3)$  — приведенная частота, равная отношению энергии фотона к удвоенному максимальному значению энергии спин-орбитального расщепления в полупроводниках симметрии  $T_d$  [9],

$$F = k^{-4} (k^2 - k_z^2) \{ 1 - 4W_F^{-2} k^{-6} \times [(k_x^2 - k_y^2)^2 - 2k_x^2 k_y^2] k_z^2 \}. \quad (29)$$

Отношение токов СЛФГЭ и ЭУФ в  $n$ -GaAs равно величине  $4\sqrt{7} (3\pi^2 n)^{1/3} / (3q\omega\tau_F)$ , где  $\tau_F = \tau(E = E_F)$ . При этом считали, что энергия фотона приблизительно равна максимальному значению спин-орбитального расщепления. Плотность электронного тока увлечения в Те можно представить в виде

$$\mathbf{J} = -\frac{32}{3} e \frac{e^2}{c n_\omega \hbar} \frac{I}{\hbar \omega} \frac{\alpha_c^3 (3\pi^2 n)^{2/3}}{\hbar^3 \omega^2} \times \mathbf{q} \tau_F \left( 1 - \beta E_F + \frac{\partial \ln \tau_F}{\partial \ln E_F} + \frac{g}{24} \right). \quad (30)$$

Заметим, что вклад в ток ЭУФ в Те, возникающий за счет учета волнового вектора фотона в законе сохранения импульса, равен 0. Возможности выделения тока прецессионных механизмов ЭУФ и СЛФГЭ, возникающих как при прямых, так и при непрямых оптических переходах, идентичны, поэтому этот вопрос для СЛФГЭ следует рассмотреть таким же образом, как в работе [9], где этот вопрос обсуждался для ЭУФ в полупроводниках симметрии  $T_d$ .

## Приложение

Рассмотрим полупроводник со сложной зоной. Пусть носитель заряда в момент рождения находится в  $l$ -й подзоне  $m$ -го уровня с энергией  $E_{lk}$ , тип столкновительных процессов определяется характерной величиной  $m_l = E_{lk}/\hbar\Omega$ , где  $\hbar\Omega$  — энергия  $LO$ -фонона. Целая часть величины  $m_l$  есть число  $LO$ -фононов, которые испускает носитель. При  $m_l > 1$  анизотропная часть функции распределения уменьшается за счет процессов рассеяния с участием  $LO$ -фононов (а при  $m_l < 1$  — уменьшается за счет рассеяния носителей тока на акустических фононах, примесях и т.п., вкладом которого мы пренебрегаем). Для расчета функции распределения разложим ее в ряд по полиномам Лежандра  $P_n(x)$ ,  $x = \mathbf{k}\mathbf{k}'/kk'$

$$f_{lk}^{(m)} = \sum_{n=0}^2 b_{nl}^{(m)} P_n(x), \quad (\text{П.1})$$

где  $b_{0l}^{(m)}$  — коэффициент, определяющий концентрацию носителей тока в  $l$ -й подзоне на  $m$ -м уровне,  $b_{1l}^{(m)}$ ,  $b_{2l}^{(m)}$  — коэффициенты, определяющие диагональный и недиагональный по номерам зоны вклады в ток ЛФГЭ. Тогда изменение анизотропной части функции распределения при переходе из состояния  $(m'l'\mathbf{k}')$  в состояние  $(m, l, \mathbf{k})$  за счет испускания ( $m' = m + 1$ ) и поглощения ( $m' = m - 1$ )  $LO$ -фонона определяется соотношением

$$\frac{b_{nl'}^{(m')}}{b_{0l}^{(m)}} = \frac{\int_{-1}^{+1} P_n(x) G_{l'l}(x) (z_{l'l} - x)^{-1} dx}{\int_{-1}^{+1} G_{l'l}(x) (z_{l'l} - x)^{-1} dx}. \quad (\text{П.2})$$

Здесь [13]

$$G_{l'l}(x) = \frac{1}{2} [P_0 + (-1)^{l+l'} P_2], \quad z_{l'l} = \frac{k_l^2 + k_{l'}^2}{2k_l k_{l'}},$$

$$k_l = (2m_l^* E_{lm} \hbar^{-2})^{1/2}, \quad k_{l'} = k_l (l \rightarrow l'), \quad (\text{П.3})$$

$E_{lm} = E_{lk} + m\hbar\Omega$ ,  $E_{l'm'}$  определяются из закона сохранения энергии,  $E_{l'm'} = E_{lm} \pm \hbar\Omega$ , где знак "+" соответствует поглощению, а "-" испусканию  $LO$ -фонона;  $m, m' = 0, 1, 2, \dots$ . Тогда, подставляя (П.3) в (П.2), имеем

$$\frac{b_{nl'}^{(m')}}{b_{ml}^{(m)}} = \frac{G_{l'l}^{(n)}(z_{l'l})}{G_{l'l}^{(0)}(z_{l'l})}, \quad (\text{П.4})$$

где

$$G_{l'l}^{(0)} = \frac{1}{2} \left[ Q_0^{(0)} + (-1)^{l+l'} \left( 3Q_2^{(2)} - Q_0^{(2)} \right) / 2 \right],$$

$$G_{l'l}^{(1)} = \frac{1}{2} \left[ Q_1^{(0)} + (-1)^{l+l'} \left( 3Q_3^{(2)} + 2Q_1^{(2)} \right) / 5 \right], \quad (\text{П.5})$$

$$G_{l'l}^{(2)} = \frac{1}{2} \left[ Q_3^{(0)} + (-1)^{l+l'} \left( 36Q_4^{(2)} + 55Q_2^{(2)} + 14Q_0^{(2)} \right) / 105 \right],$$

$$Q_n^{(n')} = Q_n^{(n')}(z_{l'l}) = \int P_n(x) P_{n'}(x) (z_{l'l} - x)^{-1} dx.$$

Считая  $l = l'$ , для  $n = 2$  из (П.4) немедленно получим выражение, описывающее уменьшение анизотропной части функции распределения фотоэлектронов в зоне проводимости, полученное в [14]. Для простой параболической зоны из (П.4) получим

$$\frac{b_{1l}^{(m')}}{b_{1l}^{(m)}} = \frac{m + m'}{2\sqrt{mm'}} - \ln^{-1} \left| \frac{\sqrt{m'} + \sqrt{m}}{\sqrt{m'} - \sqrt{m}} \right|, \quad (\text{П.6})$$

где  $m, m'$  — энергии носителя тока до и после испускания или поглощения  $LO$ -фонона в единицах  $\hbar\Omega$ .

Отметим, что при больших значениях  $m$  (и  $m'$ ) отношения  $b_{+1}/b_0$  и  $b_{-1}/b_0$  мало отличаются друг от друга. Например, при  $E_m = 10\hbar\Omega$  эти отношения принимают значения для арсенида галлия порядка 0.7, что означает, что анизотропная часть функции распределения на первом шагу каскадного процесса рассеяния уменьшается в 1.4 раза.

## Список литературы

- [1] Б.И. Стурман, В.М. Фридкин. *Фотогальванический эффект в средах без центра симметрии и родственные явления* (М., Наука, 1992).
- [2] Е.Л. Ивченко, Г.Е. Пикус, Р.Я. Расулов. *ФТТ*, **26**, 3362 (1984).
- [3] Ю.Б. Лянда-Геллер, Р.Я. Расулов. *ФТТ*, **27**, 945 (1985).
- [4] А.В. Андрианов, Е.Л. Ивченко, Г.Е. Пикус, Р.Я. Расулов, И.Д. Ярошецкий. *ЖЭТФ*, **81**, 2080 (1981).
- [5] A.N. Titkov, V.I. Safarov, G. Lampel. *Proc. XIV Int. Conf. Phys. Semicond.* (Edinburg, 1978) p. 1031.
- [6] В.И. Белиничер, Е.Л. Ивченко, Б.И. Стурман. *ЖЭТФ*, **83**, 649 (1982).
- [7] Г.Л. Бир, Г.Е. Пикус. *Симметрия и деформационные эффекты в полупроводниках* (М., Наука, 1972).
- [8] Р.Я. Расулов. Автореф. докт. дис. (СПб., 1993).
- [9] С.Б. Арифжонов, А.М. Данишевский. *ФТТ*, **15**, 2626 (1973).
- [10] Е.Л. Ивченко, Г.Е. Пикус. *ФТТ*, **16**, 1933 (1974).
- [11] Ф.Т. Васько. *ФТП*, **18**, 85 (1984).
- [12] Э. Нормантас. *ФТП*, **16**, 2222 (1982).
- [13] Г.Л. Бир, Э. Нормантас, Г.Е. Пикус. *ФТТ*, **4**, 1180 (1962).
- [14] Б.П. Захарченя, Д.И. Мирлин, В.И. Перель, И.И. Решина. *УФН*, **136**, 459 (1982).

Редактор Т.А. Полянская

## To the theory of photogalvanic effects in crystals without centre of inversion

R.Ja. Rasulov, Ju.E. Salenko, A. Tukhtamatov,  
T. Eskie, A.E. Avlijaev

Fergana State University,  
712000 Fergana, Uzbekistan